

Cromodinâmica quântica

Física de Partículas Elementares

Prof. Marcelo A. Leigui de Oliveira

Centro de Ciências Naturais e Humanas
Universidade Federal do ABC
Av. dos Estados, 5001
09210-580 Santo André-SP

10 de abril de 2025



Universidade Federal do ABC

Regras de Feynman para a cromodinâmica

- Veremos as regras de Feynman para a cromodinâmica quântica (QCD) e como são descritas as partículas coloridas;
- As interações eletromagnéticas são mediadas na eletrodinâmica por fótons, com intensidade dada pela constante de acoplamento:

$$g_e = \sqrt{4\pi\alpha},$$

enquanto que as interações fortes são mediadas na cromodinâmica por glúons, com intensidade dada pela constante de acoplamento forte:

$$g_s = \sqrt{4\pi\alpha_s},$$

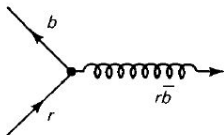
que pode ser pensada como a unidade fundamental de cor;

- Os quarks vêm em 3 cores: vermelha (r), azul (b) e verde (g). Então, a especificação do estado de um quark exige, além do spinor de Dirac $u^{(s)}(p)$, vetores colunas de 3 elementos:

$$c = \begin{pmatrix} 1 \\ 0 \\ 0 \end{pmatrix}, \text{ para o vermelho, } \begin{pmatrix} 0 \\ 1 \\ 0 \end{pmatrix}, \text{ para o azul, } \begin{pmatrix} 0 \\ 0 \\ 1 \end{pmatrix}, \text{ para o verde.}$$

Regras de Feynman para a cromodinâmica

- Tipicamente, a cor do quark muda no vértice quark-glúon:



- o quark muda de vermelho (r) para azul (b) e o glúon leva a cor vermelha+antiazul ($r\bar{b}$).

Cada glúon porta uma cor e uma anticor. Em princípio, são 9 glúons possíveis: $r\bar{r}$, $r\bar{b}$, $r\bar{g}$, $b\bar{r}$, $b\bar{b}$, $b\bar{g}$, $g\bar{r}$, $g\bar{b}$, $g\bar{g}$, mas na simetria SU(3) de cores, há um octeto de cores:

$$\begin{array}{ll} |1\rangle = (r\bar{b} + b\bar{r})/\sqrt{2} & |5\rangle = -i(r\bar{g} - g\bar{r})/\sqrt{2} \\ |2\rangle = -i(r\bar{b} - b\bar{r})/\sqrt{2} & |6\rangle = (b\bar{g} + g\bar{b})/\sqrt{2} \\ |3\rangle = (r\bar{r} - b\bar{b})/\sqrt{2} & |7\rangle = -i(b\bar{g} - g\bar{b})/\sqrt{2} \\ |4\rangle = (r\bar{g} + g\bar{r})/\sqrt{2} & |8\rangle = (r\bar{r} + b\bar{b} - 2g\bar{g})/\sqrt{6} \end{array}$$

e um singuleto de cores:

$$|9\rangle = (r\bar{r} + b\bar{b} + g\bar{g})/\sqrt{3}.$$

- Obs.: o nono glúon poderia ser o fóton (vide \dagger e o probl. 8.12) e, se ocorresse, daria origem a uma interação forte de alcance infinito (vide $*$).

Regras de Feynman para a cromodinâmica

- Glúons são partículas sem massa de spin 1, como o fóton. Portanto, são representados da mesma forma, por um vetor de polarização ϵ^μ ortogonal ao momento p^μ (condição de Lorenz):

$$\epsilon^\mu p_\mu = 0.$$

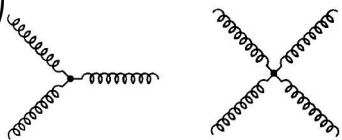
Adotando o calibre de Coulomb:

$$\epsilon^0 = 0, \text{ tal que: } \vec{\epsilon} \cdot \vec{p} = 0.$$

Para descrever o estado de cor, precisamos de vetores colunas de 8 elementos:

$$a = \begin{pmatrix} 1 \\ 0 \\ 0 \\ 0 \\ 0 \\ 0 \\ 0 \\ 0 \end{pmatrix}, \text{ para } |1\rangle, \dots \quad \begin{pmatrix} 0 \\ 0 \\ 0 \\ 0 \\ 0 \\ 0 \\ 1 \\ 0 \end{pmatrix}, \text{ para } |7\rangle, \dots \quad (1)$$

- Como os glúons carregam cor (ao contrário do fóton que é neutro), eles acoplam-se entre si:



Regras de Feynman para a cromodinâmica

- Introduzimos as *matrizes-λ* de Gell-Mann:

$$\lambda^1 = \begin{pmatrix} 0 & 1 & 0 \\ 1 & 0 & 0 \\ 0 & 0 & 0 \end{pmatrix}, \quad \lambda^2 = \begin{pmatrix} 0 & -i & 0 \\ i & 0 & 0 \\ 0 & 0 & 0 \end{pmatrix}, \quad \lambda^3 = \begin{pmatrix} 1 & 0 & 0 \\ 0 & -1 & 0 \\ 0 & 0 & 0 \end{pmatrix},$$

$$\lambda^4 = \begin{pmatrix} 0 & 0 & 1 \\ 0 & 0 & 0 \\ 1 & 0 & 0 \end{pmatrix}, \quad \lambda^5 = \begin{pmatrix} 0 & 0 & -i \\ 0 & 0 & 0 \\ i & 0 & 0 \end{pmatrix}, \quad \lambda^6 = \begin{pmatrix} 0 & 0 & 0 \\ 0 & 0 & 1 \\ 0 & 1 & 0 \end{pmatrix},$$

$$\lambda^7 = \begin{pmatrix} 0 & 0 & 0 \\ 0 & 0 & -i \\ 0 & i & 0 \end{pmatrix}, \quad \lambda^8 = \frac{1}{\sqrt{3}} \begin{pmatrix} 1 & 0 & 0 \\ 0 & 1 & 0 \\ 0 & 0 & -2 \end{pmatrix},$$

que são para SU(3) o que as matrizes de Pauli são para SU(2).

- E seus comutadores:

$$[\lambda^\alpha, \lambda^\beta] = 2if^{\alpha\beta\gamma}\lambda^\gamma,$$

onde $f^{\alpha\beta\gamma}$ são as “*constantes de estrutura*” e a soma sobre índices repetidos está implícita (de 1 a 8, portanto, são $8^3 = 512$ constantes!).

Elas são antissimétricas: $f^{\beta\alpha\gamma} = f^{\alpha\gamma\beta} = -f^{\alpha\beta\gamma}$ e muitas são zero.

As restantes podem ser obtidas da antissimetria a partir de:

$$f^{123} = 1, \quad f^{147} = f^{246} = f^{257} = f^{345} = f^{516} = f^{637} = \frac{1}{2}, \quad f^{458} = f^{678} = \frac{\sqrt{3}}{2}.$$

Regras de Feynman para a cromodinâmica

- As regras de Feynman para a QCD:

- Linhas externas:* para as linhas externas, define-se quarks/antiquarks com momento p , spin s e cor c :

$$\begin{aligned} \text{Quark} : & \left\{ \begin{array}{l} \text{Incoming } (\rightarrow \bullet) : u^{(s)}(p)c \\ \text{Outgoing } (\bullet \rightarrow) : \bar{u}^{(s)}(p)c^\dagger \end{array} \right\} \\ \text{Antiquark} : & \left\{ \begin{array}{l} \text{Incoming } (\leftarrow \bullet) : \bar{v}^{(s)}(p)c^\dagger \\ \text{Outgoing } (\bullet \leftarrow) : v^{(s)}(p)c \end{array} \right\} \end{aligned}$$

e glúons com momento p , polarização ϵ e cor a :

$$\text{Gluon} : \left\{ \begin{array}{l} \text{Incoming } (\overbrace{\bullet \cdots \bullet}^{\alpha, \mu}) : \epsilon_\mu(p)a^\alpha \\ \text{Outgoing } (\bullet \overbrace{\cdots \bullet}^{\alpha, \mu}) : \epsilon_\mu^*(p)a^{\alpha*} \end{array} \right\}$$

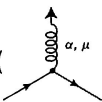
- Propagadores:* cada linha interna contribui com um fator:

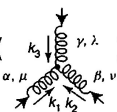
$$\text{Quarks and antiquarks: } (\bullet \xrightarrow{q} \bullet) : \frac{i(q + mc)}{q^2 - m^2 c^2}$$

$$\text{Gluons: } (\bullet \overbrace{\cdots \bullet}^{\alpha, \mu \quad \beta, \nu}) : \frac{-ig_{\mu\nu}\delta^{\alpha\beta}}{q^2}$$

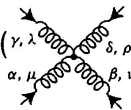
Regras de Feynman para a cromodinâmica

- ③ Vértices: cada vértice introduz um fator:

Quark-gluon: () :
$$\frac{-ig_s}{2} \lambda^\alpha \gamma^\mu$$

Three gluon: () :

$$-g_s f^{\alpha\beta\gamma} [g_{\mu\nu}(k_1 - k_2)_\lambda + g_{\nu\lambda}(k_2 - k_3)_\mu + g_{\lambda\mu}(k_3 - k_1)_\nu]$$

Four gluon: () :

$$\begin{aligned} & -ig_s^2 [f^{\alpha\beta\eta} f^{\gamma\delta\eta} (g_{\mu\lambda}g_{\nu\rho} - g_{\mu\rho}g_{\nu\lambda}) + f^{\alpha\delta\eta} f^{\beta\gamma\eta} (g_{\mu\nu}g_{\lambda\rho} - g_{\mu\lambda}g_{\nu\rho}) + \\ & + f^{\alpha\gamma\eta} f^{\delta\beta\eta} (g_{\mu\rho}g_{\nu\lambda} - g_{\mu\nu}g_{\lambda\rho})] \end{aligned}$$

- ④ Seguem-se as outras regras, analogamente.

A interação quark-quark

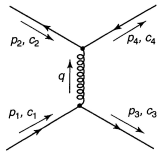
- Vamos estudar as interações qq e $q\bar{q}$, mas como não podemos acessar diretamente essas interações em laboratório, não serão obtidas as seções de choque, concentraremos-nos em *potenciais efetivos* entre quarks;
- Lembre-se que é uma teoria de perturbação, válida para pequenos valores de α_s . Não vai ser possível obter o termo de confinamento — para isto, confiamos na liberdade assintótica;
- Resultado sugestivo:
 - ▶ “*Quarks atraem-se mais intensamente em singletos de cor.*”

Ademais, em outras configurações, eles até se repelem. Em alcances muito curtos, o singleto de cor é canal com “*atratividade máxima*”: indicativo que a ligação é mais provável nesta configuração. No entanto, isto não prova que a ligação *deva* ocorrer no singleto, nem que, em outras configurações, a ligação *não possa* ocorrer;

A interação quark-quark

Casos:

- Quark e antiquark: Seja a interação entre quarks de diferentes sabores. A de menor ordem é dada pelo diagrama:



representando, p.ex.: $u + \bar{d} \rightarrow u + \bar{d}$, cuja amplitude é:

$$\begin{aligned} -i\mathcal{M} &= [\bar{u}(3)c_3^\dagger] \left[-i\frac{g_s}{2}\lambda^\alpha\gamma^\mu \right] [u(1)c_1] \left[-i\frac{g_{\mu\nu}\delta^{\alpha\beta}}{q^2} \right] [\bar{v}(2)c_2^\dagger] \left[-i\frac{g_s}{2}\lambda^\beta\gamma^\nu \right] [v(4)c_4] \\ &\Rightarrow \mathcal{M} = -\frac{g_s^2}{4} \frac{1}{q^2} [\bar{u}(3)\gamma^\mu u(1)][\bar{v}(2)\gamma_\mu v(4)](c_3^\dagger\lambda^\alpha c_1)(c_2^\dagger\lambda^\alpha c_4), \end{aligned}$$

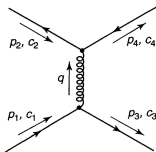
com soma implícita em α . A fórmula é análoga ao espalhamento e^-e^+ , com $g_e \rightarrow g_s$ e o “fator de cor”:

$$f = \frac{1}{4}(c_3^\dagger\lambda^\alpha c_1)(c_2^\dagger\lambda^\alpha c_4).$$

O potencial é, então, análogo ao de Coulomb:

$$V_{q\bar{q}}(r) = -f \frac{\alpha_s \hbar c}{r}.$$

A interação quark-quark - Exemplos



- ① **Fator de cor na configuração do octeto.** Como vimos, um estado típico do octeto é $r\bar{b}$ (quark vermelho e antiquark antiazul entrando). Neste caso, tomaremos os mesmos estados de saída, então, a cor é conservada nos vértices. Assim:

$$c_1 = c_3 = \begin{pmatrix} 1 \\ 0 \\ 0 \end{pmatrix}, \quad c_2 = c_4 = \begin{pmatrix} 0 \\ 1 \\ 0 \end{pmatrix},$$

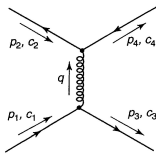
então:

$$f = \frac{1}{4} \left[(1 \quad 0 \quad 0) \lambda^\alpha \begin{pmatrix} 1 \\ 0 \\ 0 \end{pmatrix} \right] \left[(0 \quad 1 \quad 0) \lambda^\alpha \begin{pmatrix} 0 \\ 1 \\ 0 \end{pmatrix} \right] = \frac{1}{4} \lambda_{11}^\alpha \lambda_{22}^\alpha,$$

com soma implícita em α . Note que só λ^3 e λ^8 têm elementos 11 e 22 diferentes de zero:

$$f = \frac{1}{4} (\lambda_{11}^3 \lambda_{22}^3 + \lambda_{11}^8 \lambda_{22}^8) = \frac{1}{4} [(1)(-1) + (1/\sqrt{3})(1/\sqrt{3})] = -\frac{1}{6}$$

A interação quark-quark - Exemplos



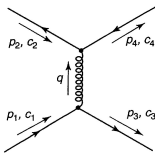
② **Fator de cor na configuração do singuleto.** Como vimos, o estado do singuleto é:

$$(r\bar{r} + b\bar{b} + g\bar{g})/\sqrt{3}$$

O singuleto de cor (como num méson) é a soma de 3 termos:

$$f = \frac{1}{4} \frac{1}{\sqrt{3}} \left\{ \left[c_3^\dagger \lambda^\alpha \begin{pmatrix} 1 \\ 0 \\ 0 \end{pmatrix} \right] [(1 \ 0 \ 0) \lambda^\alpha c_4] + \right. \\ \left. + \left[c_3^\dagger \lambda^\alpha \begin{pmatrix} 0 \\ 1 \\ 0 \end{pmatrix} \right] [(0 \ 1 \ 0) \lambda^\alpha c_4] + \left[c_3^\dagger \lambda^\alpha \begin{pmatrix} 0 \\ 0 \\ 1 \end{pmatrix} \right] [(0 \ 0 \ 1) \lambda^\alpha c_4] \right\}$$

A interação quark-quark - Exemplos



- ② **Fator de cor na configuração do singlet.** Os quarks emergentes são também necessariamente estados singletos e teremos 9 termos, compactados na forma:

$$f = \frac{1}{4} \frac{1}{\sqrt{3}} \frac{1}{\sqrt{3}} (\lambda_{ij}^\alpha \lambda_{ji}^\alpha) = \frac{1}{12} \text{Tr}(\lambda^\alpha \lambda^\alpha),$$

com soma implícita em α .

Agora (probl. 8.23):

$$\text{Tr}(\lambda^\alpha \lambda^\beta) = 2\delta^{\alpha\beta} \Rightarrow \text{Tr}(\lambda^\alpha \lambda^\alpha) = 16 \Rightarrow f = \frac{4}{3}$$

E os potenciais ficam:

$$V_{q\bar{q}}(r) = -\frac{4}{3} \left(\frac{\alpha_s \hbar c}{r} \right), \text{ para o singlet;}$$

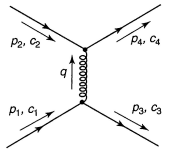
$$V_{q\bar{q}}(r) = \frac{1}{6} \left(\frac{\alpha_s \hbar c}{r} \right), \text{ para o octeto;}$$

ou, potencial *atrativo* ($V_{q\bar{q}}(r) < 0$) para o singlet e *repulsivo* ($V_{q\bar{q}}(r) > 0$) para o octeto.

A interação quark-quark

Casos:

- ② **Quark e quark:** Seja a interação entre quarks de diferentes sabores. A de menor ordem é dada pelo diagrama:



representando, p.ex.: $u + d \rightarrow u + d$, cuja amplitude é:

$$\mathcal{M} = -\frac{g_s^2}{4} \frac{1}{q^2} [\bar{u}(3)\gamma^\mu u(1)][\bar{u}(4)\gamma_\mu u(2)](c_3^\dagger \lambda^\alpha c_1)(c_4^\dagger \lambda^\alpha c_2),$$

que, desta vez, é análoga à do espalhamento elétron-múon com $g_e \rightarrow g_s$ e o “fator de cor” (que depende da configuração dos quarks):

$$f = \frac{1}{4}(c_3^\dagger \lambda^\alpha c_1)(c_4^\dagger \lambda^\alpha c_2).$$

O potencial é, então, análogo ao de Coulomb:

$$V_{qq}(r) = f \frac{\alpha_s \hbar c}{r}$$

Com 2 quarks, montamos 1 tripleto (combinações antissimétricas):

$$(rb - br)/\sqrt{2}, \quad (bg - gb)/\sqrt{2}, \quad (gr - rg)/\sqrt{2}$$

e 1 sexteto (combinações simétricas):

$$rr, \quad bb, \quad gg, \quad (rb + br)/\sqrt{2}, \quad (bg + gb)/\sqrt{2}, \quad (gr + rg)/\sqrt{2}$$

A interação quark-quark - Exemplos

③ Fator de cor na configuração do sexteto.

Tomemos o estado rr :

$$c_1 = c_2 = c_3 = c_4 = \begin{pmatrix} 1 \\ 0 \\ 0 \end{pmatrix},$$

então:

$$\begin{aligned} f &= \frac{1}{4} \left[(1 \quad 0 \quad 0) \lambda^\alpha \begin{pmatrix} 1 \\ 0 \\ 0 \end{pmatrix} \right] \left[(1 \quad 0 \quad 0) \lambda^\alpha \begin{pmatrix} 1 \\ 0 \\ 0 \end{pmatrix} \right] = \\ &= \frac{1}{4} \lambda_{11}^\alpha \lambda_{11}^\alpha = \frac{1}{4} [\lambda_{11}^3 \lambda_{11}^3 + \lambda_{11}^8 \lambda_{11}^8] = \frac{1}{4} [(1)(1) + (1/\sqrt{3})(1/\sqrt{3})] = \frac{1}{3} \end{aligned}$$

A interação quark-quark - Exemplos

④ Fator de cor na configuração do triplete.

Tomemos o estado $(rb - br)/\sqrt{2}$:

$$\begin{aligned}
 f = & \frac{1}{4} \frac{1}{\sqrt{2}} \frac{1}{\sqrt{2}} \left\{ \left[\begin{pmatrix} 1 & 0 & 0 \end{pmatrix} \lambda^\alpha \begin{pmatrix} 1 \\ 0 \\ 0 \end{pmatrix} \right] \left[\begin{pmatrix} 0 & 1 & 0 \end{pmatrix} \lambda^\alpha \begin{pmatrix} 0 \\ 1 \\ 0 \end{pmatrix} \right] + \right. \\
 & - \left[\begin{pmatrix} 0 & 1 & 0 \end{pmatrix} \lambda^\alpha \begin{pmatrix} 1 \\ 0 \\ 0 \end{pmatrix} \right] \left[\begin{pmatrix} 1 & 0 & 0 \end{pmatrix} \lambda^\alpha \begin{pmatrix} 0 \\ 1 \\ 0 \end{pmatrix} \right] - \left[\begin{pmatrix} 1 & 0 & 0 \end{pmatrix} \lambda^\alpha \begin{pmatrix} 0 \\ 1 \\ 0 \end{pmatrix} \right] \left[\begin{pmatrix} 0 & 1 & 0 \end{pmatrix} \lambda^\alpha \begin{pmatrix} 1 \\ 0 \\ 0 \end{pmatrix} \right] + \\
 & \left. + \left[\begin{pmatrix} 0 & 1 & 0 \end{pmatrix} \lambda^\alpha \begin{pmatrix} 0 \\ 1 \\ 0 \end{pmatrix} \right] \left[\begin{pmatrix} 1 & 0 & 0 \end{pmatrix} \lambda^\alpha \begin{pmatrix} 1 \\ 0 \\ 0 \end{pmatrix} \right] \right\} = \\
 & = \frac{1}{8} \{ \lambda_{11}^\alpha \lambda_{22}^\alpha - \lambda_{21}^\alpha \lambda_{12}^\alpha - \lambda_{12}^\alpha \lambda_{21}^\alpha + \lambda_{22}^\alpha \lambda_{11}^\alpha \} = \frac{1}{4} (\lambda_{11}^\alpha \lambda_{22}^\alpha - \lambda_{12}^\alpha \lambda_{21}^\alpha) = \\
 & = \frac{1}{4} (\lambda_{11}^3 \lambda_{22}^3 + \lambda_{11}^8 \lambda_{22}^8 - \lambda_{12}^1 \lambda_{21}^1 - \lambda_{12}^2 \lambda_{21}^2) = \frac{1}{4} (-1 + \frac{1}{3} - 1 - 1) = -\frac{2}{3}
 \end{aligned}$$

E os potenciais ficam:

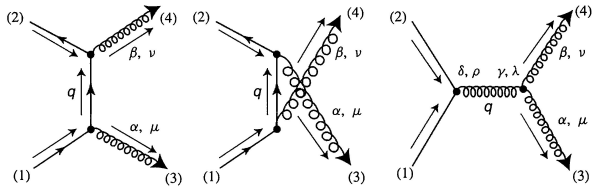
$$V_{qq}(r) = -\frac{2}{3} \left(\frac{\alpha_s \hbar c}{r} \right), \text{ para o triplete;}$$

$$V_{qq}(r) = \frac{1}{3} \left(\frac{\alpha_s \hbar c}{r} \right), \text{ para o sexteto;}$$

ou, potencial *atrativo* ($V_{qq}(r) < 0$) para o triplete e *repulsivo* ($V_{qq}(r) > 0$) para o sexteto.

Aniquilação de pares na QCD

- Estudaremos o processo análogo à aniquilação de pares, na QCD há 3 diagramas:



com amplitude (analogamente ao exemp. 7.8) para o processo 1:

$$-i\mathcal{M}_1 = \bar{v}(2)c_2^\dagger \left[-i\frac{g_s}{2}\lambda^\beta\gamma^\nu \right] [\epsilon_{4\nu}^* a_4^{*\beta}] \left[\frac{i(\not{q} + mc)}{q^2 - m^2c^2} \right] \left[-i\frac{g_s}{2}\lambda^\alpha\gamma^\mu \right] [\epsilon_{3\mu}^* a_3^{*\alpha}] u(1)c_1.$$

Agora, de:

$$q = p_1 - p_3 \Rightarrow q^2 - m^2c^2 = p_1^2 - 2p_1 \cdot p_3 + p_3^2 - m^2c^2 = -2p_1 \cdot p_3,$$

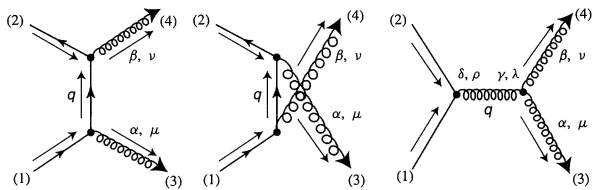
vem:

$$\mathcal{M}_1 = -\frac{g_s^2}{8} \frac{1}{p_1 \cdot p_3} \bar{v}(2)(\gamma^\nu \epsilon_{4\nu}^*) [(\not{q} + mc)] (\gamma^\mu \epsilon_{3\mu}^*) u(1) \times a_3^{*\alpha} a_4^{*\beta} (c_2^\dagger \lambda^\beta \lambda^\alpha c_1) \Rightarrow$$

$$\mathcal{M}_1 = -\frac{g_s^2}{8} \frac{1}{p_1 \cdot p_3} \bar{v}(2) \left[\epsilon_4^* (\not{p}_1 - \not{p}_3 + mc) \epsilon_3^* \right] u(1) \times a_3^{*\alpha} a_4^{*\beta} (c_2^\dagger \lambda^\beta \lambda^\alpha c_1).$$

Aniquilação de pares na QCD

- Para a aniquilação de pares, na QCD, há 3 diagramas:



Para o processo 1:

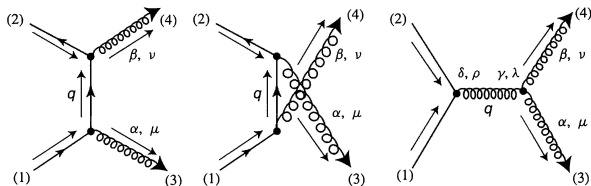
$$\mathcal{M}_1 = -\frac{g_s^2}{8} \frac{1}{p_1 \cdot p_3} \bar{v}(2) [\not{\epsilon}_4 (\not{p}_1 - \not{p}_3 + mc) \not{\epsilon}_3] u(1) \times a_3^{*\alpha} a_4^{*\beta} (c_2^\dagger \lambda^\beta \lambda^\alpha c_1).$$

Similarmente, para o processo 2:

$$\mathcal{M}_2 = -\frac{g_s^2}{8} \frac{1}{p_1 \cdot p_4} \bar{v}(2) [\not{\epsilon}_3 (\not{p}_1 - \not{p}_4 + mc) \not{\epsilon}_4] u(1) \times a_3^\alpha a_4^\beta (c_2^\dagger \lambda^\alpha \lambda^\beta c_1).$$

Aniquilação de pares na QCD

- Para a aniquilação de pares, na QCD, há 3 diagramas:



E para o processo 3:

$$\begin{aligned}
 -i\mathcal{M}_3 = & \bar{v}(2)c_2^\dagger \left[-i\frac{g_s}{2}\lambda^\delta\gamma_\sigma \right] u(1)c_1 \left[-i\frac{g^{\sigma\lambda}\delta^{\delta\gamma}}{q^2} \right] \cdot \left\{ -g_s f^{\alpha\beta\gamma} [g_{\mu\nu}(-p_3 + p_4)_\lambda + \right. \\
 & \left. + g_{\nu\lambda}(-p_4 - q)_\mu + g_{\lambda\mu}(q + p_3)_\nu] \right\} [\epsilon_3^\mu a_3^\alpha][\epsilon_4^\nu a_4^\beta].
 \end{aligned}$$

Agora, de:

$$q = p_3 + p_4 \Rightarrow q^2 - m^2 c^2 = p_3^2 + 2p_3 \cdot p_4 + p_4^2 - m^2 c^2 = 2p_3 \cdot p_4$$

e usando que $\epsilon_3 \cdot p_3 = \epsilon_4 \cdot p_4 = 0$, vem (probl. 8.20):

$$\begin{aligned}
 \mathcal{M}_3 = & i\frac{g_s^2}{8} \frac{1}{p_1 \cdot p_4} \bar{v}(2) [(\epsilon_3 \cdot \epsilon_4)(\not{p}_4 - \not{p}_3) + 2(p_3 \cdot \epsilon_4)\not{p}_3 - 2(p_4 \cdot \epsilon_3)\not{p}_4] u(1) \times \\
 & \times f^{\alpha\beta\gamma} a_3^\alpha a_4^\beta (c_2^\dagger \lambda^\gamma c_1).
 \end{aligned}$$

Aniquilação de pares na QCD

- Assumindo (como fizemos na QED) que as partículas iniciais estão em repouso:

$$p_1 = p_2 = (mc, \vec{0}), \quad p_3 = (mc, \vec{p}), \quad p_4 = (mc, -\vec{p}) \Rightarrow$$

$$p_1 \cdot p_3 = p_1 \cdot p_4 = (mc)^2, \quad p_1 \cdot p_2 = 2(mc)^2$$

e o calibre de Coulomb, cancelam-se 2 termos: $p_3 \cdot \epsilon_4 = p_4 \cdot \epsilon_3 = 0$.

- Usando que $u(1)$ satisfaz à equação de Dirac e, portanto:

$$(\not{p}_1 - \not{p}_3 + mc)\not{\epsilon}_3 u(1) = \not{\epsilon}_3 \not{p}_3 u(1), \quad (\not{p}_1 - \not{p}_4 + mc)\not{\epsilon}_4 u(1) = \not{\epsilon}_4 \not{p}_4 u(1),$$

simplificando \mathcal{M}_1 e \mathcal{M}_2 .

- De $\mathcal{M} = \mathcal{M}_1 + \mathcal{M}_2 + \mathcal{M}_3$:

$$\mathcal{M} = -\frac{g_s^2}{8(mc)^2} a_3^\alpha a_4^\beta \bar{v}(2) c_2^\dagger \left[\not{\epsilon}_3 \not{\epsilon}_4 \not{p}_4 \lambda^\alpha \lambda^\beta + \not{\epsilon}_4 \not{\epsilon}_3 \not{p}_3 \lambda^\beta \lambda^\alpha - i(\epsilon_3 \cdot \epsilon_4)(\not{p}_4 - \not{p}_3) f^{\alpha\beta\gamma} \lambda^\gamma \right] c_1 u(1).$$

- Orientando-se o eixo z ao longo de \vec{p} :

$$\not{p}_3 = mc(\gamma^0 - \gamma^3), \quad \not{p}_4 = mc(\gamma^0 + \gamma^3), \quad \not{p}_4 - \not{p}_3 = 2mc\gamma^3.$$

Além disso, vimos que:

$$\epsilon_3 \epsilon_4 = (\vec{\epsilon}_3 \cdot \vec{\epsilon}_4) - i(\vec{\epsilon}_3 \times \vec{\epsilon}_4) \cdot \vec{\Sigma}, \quad \not{\epsilon}_4 \not{\epsilon}_3 = -(\vec{\epsilon}_3 \cdot \vec{\epsilon}_4) + i(\vec{\epsilon}_3 \times \vec{\epsilon}_4) \cdot \vec{\Sigma}.$$

Assim:

$$\mathcal{M} = \frac{g_s^2}{8mc} a_3^\alpha a_4^\beta \bar{v}(2) c_2^\dagger \left[(\vec{\epsilon}_3 \cdot \vec{\epsilon}_4) \{ \lambda^\alpha, \lambda^\beta \} \gamma^0 + i(\vec{\epsilon}_3 \times \vec{\epsilon}_4) \cdot \vec{\Sigma} ([\lambda^\alpha, \lambda^\beta] \gamma^0 + \{ \lambda^\alpha, \lambda^\beta \} \gamma^3) \right] c_1 u(1),$$

que reduz-se ao resultado da QED se $\lambda^\alpha = \lambda^\beta = 1$, $g_s/2 \rightarrow g_e$ e tirarmos todos os estados de cor a e c.

Aniquilação de pares na QCD

- Para os quarks no estado singlet, spin-0 (que pode decair em 2 glúons):

$$\mathcal{M} = (\mathcal{M}_{\uparrow\downarrow} - \mathcal{M}_{\downarrow\uparrow})/\sqrt{2}.$$

Contudo, vimos que:

$$\bar{v}(2)\gamma^0 u(1) = 0, \quad \bar{v}(2)\vec{\gamma}\gamma^3 u(1) = -2mc\hat{z}$$

e, como antes $\mathcal{M}_{\uparrow\downarrow} = -\mathcal{M}_{\downarrow\uparrow}$:

$$\mathcal{M} = -i\sqrt{2} \frac{g_s^2}{4} (\vec{\epsilon}_3 \times \vec{\epsilon}_4)_z a_3^\alpha a_4^\beta (c_2^\dagger \{\lambda^\alpha, \lambda^\beta\} c_1), \quad \text{no singlet.}$$

Novamente, reproduzimos o resultado da QED, com $g_e \rightarrow g_s$ e com o fator de cor:

$$f = \frac{1}{8} a_3^\alpha a_4^\beta (c_2^\dagger \{\lambda^\alpha, \lambda^\beta\} c_1).$$

Em particular, se os quarks estiverem no estado singlet, $(r\bar{r} + b\bar{b} + g\bar{g})/\sqrt{3}$, então:

$$f = \frac{1}{8} a_3^\alpha a_4^\beta \frac{1}{\sqrt{3}} \left\{ \begin{pmatrix} 1 & 0 & 0 \end{pmatrix} \{\lambda^\alpha, \lambda^\beta\} \begin{pmatrix} 1 \\ 0 \\ 0 \end{pmatrix} + \begin{pmatrix} 0 & 1 & 0 \end{pmatrix} \{\lambda^\alpha, \lambda^\beta\} \begin{pmatrix} 0 \\ 1 \\ 0 \end{pmatrix} + \right. \\ \left. + \begin{pmatrix} 0 & 0 & 1 \end{pmatrix} \{\lambda^\alpha, \lambda^\beta\} \begin{pmatrix} 0 \\ 0 \\ 1 \end{pmatrix} \right\} = \frac{1}{8\sqrt{3}} a_3^\alpha a_4^\beta (Tr\{\lambda^\alpha, \lambda^\beta\}) = \frac{1}{8\sqrt{3}} a_3^\alpha a_4^\beta (4\delta^{\alpha\beta}) \Rightarrow$$

(probl. 8.13) $\Rightarrow f = \frac{1}{2\sqrt{3}} a_3^\alpha a_4^\alpha, \quad \text{para o singlet de cor.}$

Aniquilação de pares na QCD

- Agora, o estado singlet para 2 glúons (probl. 8.22) é:

$$|\text{singlet}\rangle = \frac{1}{\sqrt{8}} \sum_{n=1}^8 |n\rangle_1 |n\rangle_2$$

Assim:

$$a_3^\alpha a_4^\alpha = \frac{1}{\sqrt{8}}(8) = 2\sqrt{2} \Rightarrow f = \sqrt{\frac{2}{3}}$$

- **Conclusão:** Para o processo:

$$q + \bar{q} \rightarrow g + g,$$

no singlet de spin, singlet de cor e com os quarks em repouso, a amplitude é:

$$\mathcal{M} = -4\sqrt{\frac{2}{3}}g_s^2,$$

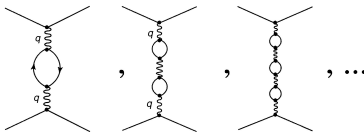
a seção de choque é:

$$\sigma = \frac{2}{3} \frac{4\pi}{cv} \left(\frac{\hbar\alpha_s}{m} \right)^2$$

e a taxa de decaimento:

$$\Gamma = \sigma v |\psi(0)|^2.$$

Liberdade assintótica



- Na QED, vimos que o diagrama com laços faz a carga efetiva do elétron uma função do momento transferido q :

$$\alpha(|q^2|) = \alpha(0) \left\{ 1 + \frac{\alpha(0)}{3\pi} \ln(|q^2|/(mc)^2) \right\} \quad (|q^2| = -q^2 \gg (mc)^2);$$

A constante de acoplamento cresce conforme se aproxima da carga, reduzindo-se a blindagem do efeito conhecido como a “*polarização do vácuo*”;

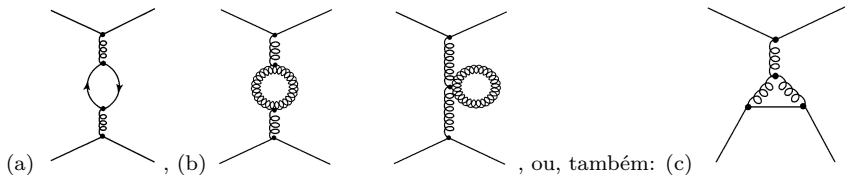
- Adicionando-se diagramas de ordens superiores:

$$\alpha(|q^2|) = \frac{\alpha(0)}{1 - (\alpha(0)/3\pi) \ln(|q^2|/(mc)^2)} \quad (|q^2| \gg (mc)^2),$$

que diverge em $\ln(|q^2|/(mc)^2) = (3\pi/\alpha(0))$, isto é, a uma energia de 10^{280} MeV!

Liberdade assintótica

- Na QCD, ocorre algo bem parecido com as bolhas de quark/antiquark (a), levando a uma blindagem da cor. Entretanto, na QCD surgem também as bolhas de *glúons virtuais* (b):



Nestes casos, o efeito é de *antiblindagem*.

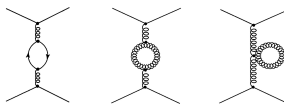
- Mas a fórmula da constantes de acoplamento forte acaba sendo parecida:

$$\alpha_s(|q^2|) = \frac{\alpha_s(\mu^2)}{1 - (\alpha_s(\mu^2)/12\pi)(11n - 2f) \ln(|q^2|/\mu^2)} \quad (|q^2| \gg \mu^2),$$

onde $n (= 3)$ é o número de cores e $f (= 6)$ é o número de sabores (no MP);

- Numa teoria em que $11n > 2f$, a antiblindagem domina e a constante de acoplamento *diminui* com $|q^2|$, a força forte fica fraca a pequenas distâncias: “*liberdade assintótica*”.

Liberdade assintótica



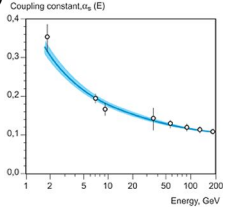
- Note que em:

$$\alpha_s(|q^2|) = \frac{\alpha_s(\mu^2)}{1 - (\alpha_s(\mu^2)/12\pi)(11n - 2f) \ln(|q^2|/\mu^2)} \quad (|q^2| \gg \mu^2),$$

a constante da QED→QCD: $\alpha(0) \rightarrow \alpha_s(\mu^2)$. Lembrando que:

- Não importa o valor μ (probl. 8.25), desde que $\alpha_s(\mu^2) < 1$. Definindo-se Λ por:

$$\ln \Lambda^2 = \ln \mu^2 - 12\pi / [(11n - 2f)\alpha_s(\mu^2)],$$



assim, $\alpha_s(|q^2|)$ pode ser expressa em termos de um único parâmetro (probl. 8.26):

$$\alpha_s(|q^2|) = \frac{12\pi}{(11n - 2f) \ln(|q^2|/\Lambda^2)} \quad (|q^2| \gg \Lambda^2).$$

Mas é difícil de obter-se Λ com precisão: $100 \text{ MeV}/c < \Lambda < 500 \text{ MeV}/c$.